

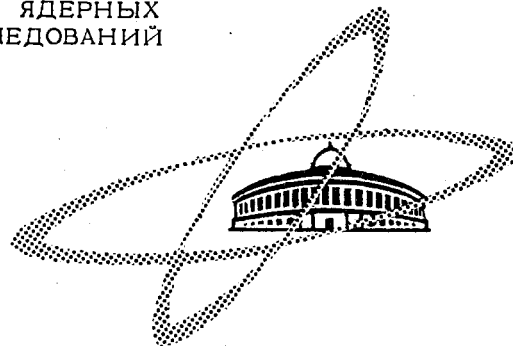
1714

ЭКЗ. ЧИТ. ЗАЛА

ОБЪЕДИНЕННЫЙ
ИНСТИТУТ
ЯДЕРНЫХ
ИССЛЕДОВАНИЙ

Дубна

P-1714



Р.А. Эрамжян

БЕТА-РАСПАД Li^9

Л А Б О Р А Т О Р И Я Т Е О Р Е Т И ЧЕ С К О Й Ф ИЗИКИ

1964

P-1714.

Р.А.Эрамжян

БЕТА-РАСПАД Li^9

Направлено в Physics Letters

ОИЯИ
БИБЛИОТЕКА

Бета-распад Li^9

В рамках модели промежуточной связи исследуются каналы бета-распада Li^9 . Результаты расчета совпадают с экспериментальными данными. Делается предсказание о наличии у Be^9 возбужденного уровня $1/2^-$ (2,4 Мэв).

Препринт Объединенного института ядерных исследований.
Дубна. 1964.

P-1714

R.A.Eramzhian

Beta Decay of Li^9

In the framework of the intermediate coupling model the channels of the beta decay of Li^9 are investigated. The results of calculation coincide with the experimental data. A prediction is made that Be^9 has an excited level $1/2^-$ (2.4 MeV).

Preprint. Joint Institute for Nuclear Research.
Dubna. 1964.

Известно, что ${}^9\text{Li}$ является β -активным ядром с периодом полураспада $(0,169 \pm 0,003)$ сек^{1/1}. Согласно последним экспериментальным данным^{2/2}, распад идет как на основное состояние ${}^9\text{Be}$ ($\log f = 5,5 \pm 0,2$), так и на возбужденные состояния, лежащие выше порога испускания нейтронов. Нейтроны по энергии не разделялись, и все переходы на возбужденные состояния приписывались переходу на уровень $5/2^-$ ${}^9\text{Be}$, лежащий при $2,430$ Мэв ($\log f = 4,7 \pm 0,2$), хотя в работе^{2/2} отмечалось, что, по-видимому, существует еще одна группа нейтронов с большей энергией.

В данной работе исследуются каналы распада ядра ${}^9\text{Li}$ в рамках промежуточной связь модели оболочек. Известно^{3/4}, что волновые функции основного состояния ${}^9\text{Li}$ и ${}^9\text{Be}$ близки к предельному случаю L-S связи: $\psi_9 = | s^4 p^5 [32] : {}^{42}\text{P}_{3/2} \rangle$ ^{3/4}. Однако в этом предельном случае переход на основное со-
стояние ${}^9\text{Be}$ строго запрещен из-за правил отбора по специальному для модели квантовому числу — схеме Юнга. Учет смешивания конфигураций в рамках схемы промежуточной связи открывает канал, закрытый в случае чистой L-S связи. Так как переход обусловлен малой примесью, исследуется зависимость $\log f$ от параметра смешивания k . Энергетическое положение уровней ${}^9\text{Be}$ и волновые функции при оптимальном значении параметра $k = -1,2$ Мэв даны в работе^{4/4}.

Результаты расчета приводятся на рис. 1 и на рис. 2. На рис. 1 показана схема распада ${}^9\text{Li}$ при оптимальном значении параметра $k = -1,2$ Мэв. В скобках указаны теоретические значения $\log f$. Для сравнения на этом же рисунке приведена экспериментальная схема распада согласно^{2/2}. На рис. 2 показана зависимость величины $\log f$ от k для четырех основных переходов.

На основании полученных результатов можно сделать следующие выводы:

1. Рассчитанные в рамках модели промежуточной связь значения $\log f$ согласуются с экспериментальными данными.

2. Переходы на возбужденные состояния ${}^9\text{Be}$ действительно идут в район 2,5 Мэв. Однако в этой области, согласно расчетам, находятся два близколежащих уровня $5/2^-$ и $1/2^-$, между которыми вероятность распада делится пополам. Тот факт, что для объяснения экспериментальных данных необходимо привлечение переходов на уровне $1/2^-$, который пока не обнаружен, является косвенным подтверждением его существования.

3. В районе 4,4 Мэв существует еще один уровень $3/2^-$, на который идет заметный переход.

В заключение автор выражает глубокую благодарность В.В.Балащову, Л.Я.Шавтавлову за обсуждение полученных результатов и А.Н. Бояркиной за любезное предоставление расчета волновых функций ${}^9\text{Be}$ при различных значениях параметра k .

Л и т е р а т у р а

1. Ajzenberg - Selope, T.Launitsen, Nucl. Phys., 11, 1 (1959).
2. D.E.Alburger, Phys. Rev., 132, 328 (1963).
3. D.Kurath, Phys. Rev., 101, 216 (1956).
4. А.Н.Бояркина, Изв. АН СССР, серия физическая 28, 337 (1984).

Рукопись поступила в издательский отдел.
18 июня 1984 г.

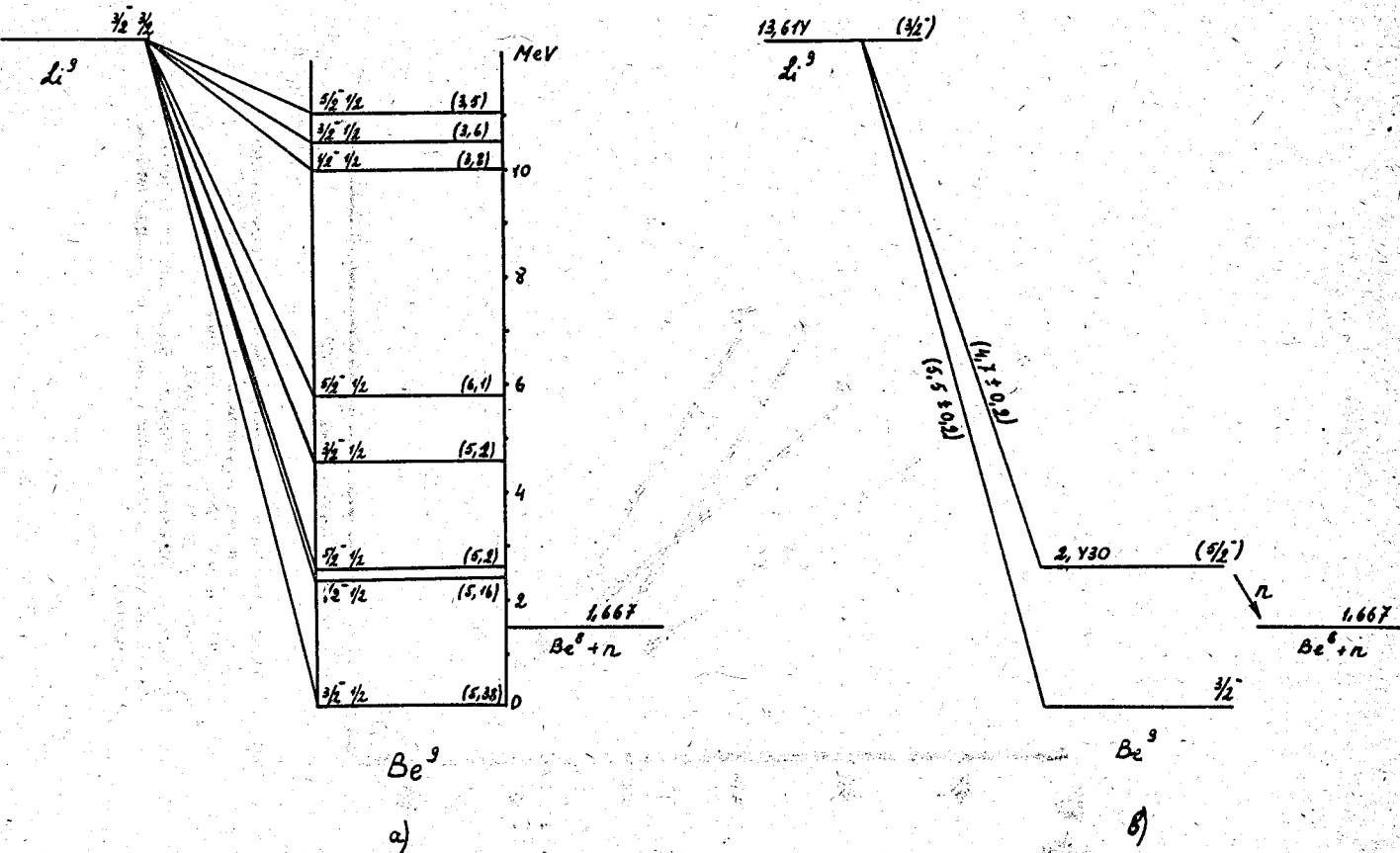


Рис.1. а) Теоретическая схема распада Li^9
б) экспериментальная схема распада Li^9
согласно работе [2].

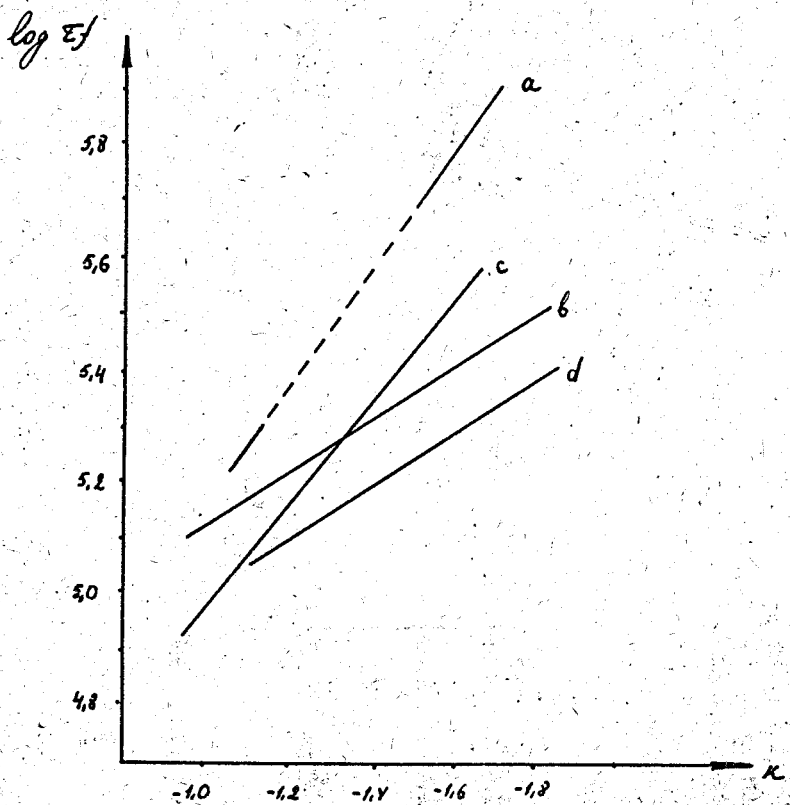


Рис.2. Зависимость $\log f$ для наиболее сильных переходов от k (а - переход на основное состояние $\text{Be}^9(3/2^-)$, б - на уровень $5/2^-$, с - на уровень $1/2^-$ и д - на уровень $3/2^- E = 4,4 \text{ Мэв}$).

Пунктиром обозначена область $\log f$ для основного состояния Be^9 , лежащая в пределах экспериментальной ошибки.